

III-5 飽和粘土の応力～ひずみ関係におよぼす異方圧密の影響

金沢工業大学 正員 ○ 外崎 明
 東海 大学 正員 赤石 勝
 東海 大学 正員 稲田 優穂

1. まえがき

粘土の応力～ひずみ関係を求めるため実施される室内三軸圧縮試験は、通常等方圧密後の供試体で行われることが多い。載荷前の原地盤の応力状態は一般には K_0 状態であると言われ、道路盛土のような帶状荷重を受けた地盤内の有効主応力比は、ほとんどの場合に 1 の値以下である。圧密時の応力状態が粘土の応力～ひずみ関係に大きな影響を与えることは周知の事実であるが、その評価には不明な点も少なくない。

そこで本報告では、圧密時の有効主応力比 K を $K=1$ へ $K_0=0.42$ の範囲で 5 段階に変化させ、圧密時の応力状態がその後の非排水条件で得られる応力～ひずみ関係におよぼす影響について実験的に検討した。

2. 試料および実験方法

実験に用いた試料は千葉県柏市より採取した練り返し粘土でその物理的性質は $G_s = 2.64$, $W_L = 63\%$, $P_L = 32\%$ である。ペースト状に十分練り返して粘土を 0.2 kg/cm^3 で予備圧密し、至 5 cm 、高さ 12.5 cm で供試体を作成した。排水はペーパードレンによって側方排水とし、上・下端面はシリコングリースをぬりテフロンシートを敷き摩擦の影響をなくした。実験は圧密圧力 $\sigma'_m = 0.5, 1.0, 1.5 \text{ kg/cm}^2$ として等方圧密、また圧密終了時の平均主応力が同一の異方圧密 ($\sigma'_n = K = 0.5, 0.6, 0.8$) および $K_0=0.42$ を 24 時間行い、 1.0 kg/cm^2 のベックプレッシャーをかけた後、載荷速度 $0.1 \text{ kg/cm}^2/\text{min}$ で非排水応力制御せん断試験を行った。なお、せん断中応力が一定にかかるように荷重補正を行い、実験中三軸室内の水温が 20°C に保つようサークルサーキュレーターによって温度調整が行われている。

3. 実験結果および考察

図-1 は圧密終了時の間げき比と平均有効主応力 σ'_m の関係について、正密時の有効主応力比 $K = 0.42$ をパラメータにして整理した結果である。図-1 の σ'_m 関係はどの点も平行な直線となり K が小さな値ほど下方へ位置することが認められる。圧密時の平均有効主応力一定 ($\sigma'_m = \text{const}$) で生じる間げき比の低下は、異方圧密時に発揮された負のダイレイタンシーによるものと考えられる。

図-2 は図-1 に示した ϵ ～ $\log \sigma'_m$ で圧密を終了した供試体を非排水せん断した場合の有効応力経路を示したものである。図-2 より圧密時の K が小さくなるにしたがって有効応力経路が鉛直に立ちあがっていく傾向が認められる。破壊時までの非排水せん断中に発揮されるダイレイタンシーが、圧密時の K の小さいものほど小さいので、図-1 に示した異方圧密時に発揮された負のダイレイタンシーの大きさと対応させると、圧密時に発揮された負のダイレイタンシーが大きいもの程せん断中に発揮される負のダイレイタンシーは、小さいことになる。このように異方圧密によって非排水せん断時のダイレイ

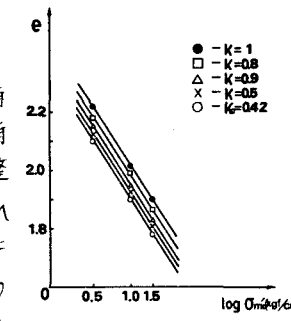


図-1

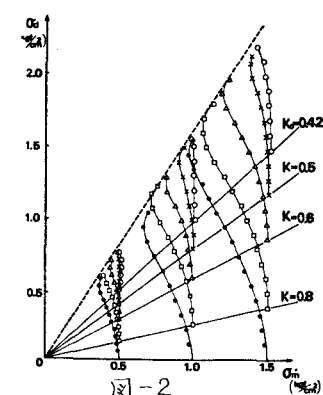


図-2

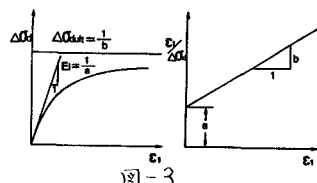


図-3

$$\Delta\sigma'_m = -\frac{\epsilon_1}{a+b\epsilon_1} \quad (1)$$

タニシ特性
が異なると応
力へひずみ挙
動に影響を生
じることは明
らかである。
土のよう

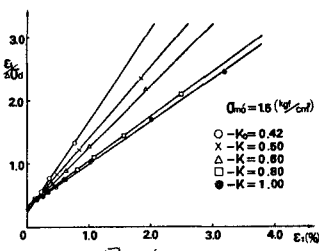


図-4

非線形な応力へひずみ関係を式(1)で示す双曲線で
近似し、その影響を検討することにする。(図-3)

図-4は主応力差増分 $\Delta\sigma$ と軸ひずみ ϵ_1 の関係を $\frac{\Delta\sigma}{\sigma_0}$
～ ϵ_1 関係に直して整理した結果の一例である。図

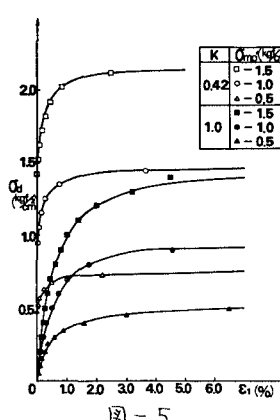


図-5

～5は $K=1$ および $K=K_0=0.42$ の応力へひずみ曲線であり、図中実線は前記方法によ
って推定したパラメータ a , b を用いて双曲線近似したものである。図-4, 図-5から明らかなように応力へひずみ関係を双曲線によってかなりの精度で近似できそ
うである。図-5の応力へひずみ関係を圧密時の $\sigma_{0m'}$ で無次元化したものが図
～6である。若干のバラツキを生じているが、各々一つの双曲線で近似できそ
うである。しかし、曲線は圧密時の K によって明らかに異なっていることが観察される。
また、初期接線弾性係数 $E_i (= \sigma_0)$ と $\sigma_{0m'}$ の関係を K をパラメータとして示した
のが図-7である。 $\log E_i$ ～ $\log \sigma_{0m'}$ 間に直線関係が認められ、 K の小さなものほど
上側に位置し互にほぼ平行である。図-6や図-7に示したように応力へひずみ関係
は圧密時の K にかなり影響されるようである。そこで K に影響されない応力
へひずみ関係を見出すため、まず間げき比に着目して考察を進めるこ
とにする。

図-6に示した等方圧密($K=1$)の ϵ_1 ～ $\log \sigma_{0m'}$ 関係を基準にして、 $K < 1$ の負のダイレ
イタニシによって低下した間げき比の影響を有効応力の増加として評価するこ
とにする。著者らは、この有効応力を等価有効応力 $\sigma'_e (= \sigma_{0m'} + P_e)$ (P_e はダイレ
イタニシ係数)と呼んでいるが、この σ'_e の求め方と $\log \sigma'_e$ ～ $\log \sigma_{0m'}$ 関係を示したのが図-8
である。図より E_i と σ'_e の関係で整理すると圧密時の K によらずそれがほぼ一つ
の直線で近似できそうである。そこで図-6の応力へひずみ関係を σ'_e で無次元化し
たのが図-9である。図-9の ϵ_1 ～ $\log \sigma'_e$ 関係は図-6と比較すると、 $K_0=0.42$ の曲線が $K=1$
の曲線にかなり近づいていることが観察され、圧密時の K の異なる応力へひずみ
曲線を一つの曲線として表現する可能性を示しているものと思われる。

4. まとめ

本実験で得られた結果を要約すると次のようになる。
(1) 初期接線弾性係数
は圧密時の有効主応力比が小さくなるにしたがって大きくなり傾向にある。
(2) 初期接線弾性係数と平均有効応力は指數関係にあり、その直線勾配は圧密
時の有効主応力比によらずほぼ一定である。
(3) 算出有効応力を用いると初期
接線弾性係数は圧密時の有効主応力比に影響されない整理が可能である。

参考文献

- Duncan, J.M. and C.Y. Chang: Proc. ASCE, Vol. 96, No. SM5 1970.
- 柏田, 赤石, 張: 土木学会論文報告集 No.306, 1981.

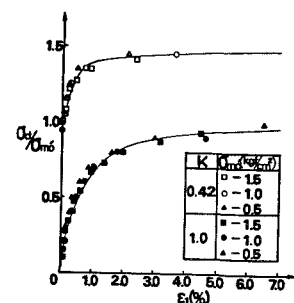


図-6

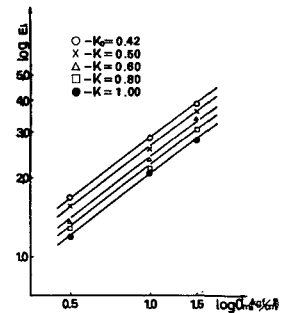


図-7

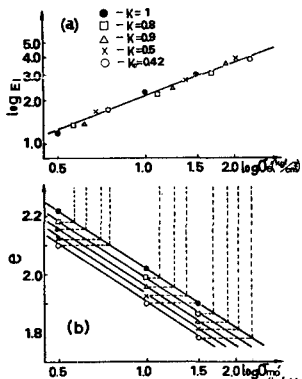


図-8

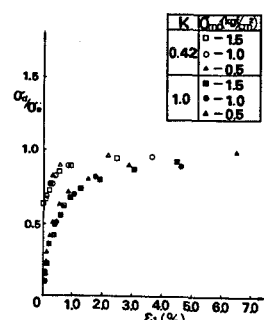


図-9